

یک روش ابتکاری مبتنی بر ANP برای ارزیابی و مقایسه طرح‌های استتاری لباس‌های نظامی

مسعود مصدق خواه^{*}، بهروز فرهاد زارع^۲، هاتف فتوحی^۲، محمد باقر مختاری^۲

۱- دانشیار-۲- کارشناس ارشد دانشگاه جامع امام حسین (ع)

(دریافت: ۱۳۹۲/۰۳/۱۸؛ پذیرش: ۱۳۹۲/۰۹/۲۶)

چکیده

استتار مناسب نیروها، نقش تعیین‌کننده‌ای در موفقیت عملیات نظامی دارد. معمولاً انتخاب طرح استتاری مناسب برای یک محیط، از میان چندین طرح با استفاده از روش بصری انجام می‌شود. این روش بهدلیل وابستگی انتخاب، بهمیزان خبرگی و دقت مشاهده‌کنندگان و همچنین احتمال ناسازگاری میان نظرات کارشناسان، روش کارامدی نمی‌باشد. با مطالعه منابع مربوط، تاکنون دو معیار تأثیرگذار در استتار شناسایی شده‌اند که شامل میزان همانندی تباین طرح با زمینه و میزان همانندی نتیجه‌گیری طرح با زمینه می‌باشند. با توجه به وابستگی این دو معیار به یکدیگر، استفاده از روش فرایند تحلیل شبکه‌ای (ANP)، می‌تواند جایگزین مناسبی برای روش بصری، بهمنظور نتیجه‌گیری دقیق‌تر باشد. در مقاله حاضر با توجه به پیچیدگی و زمان بر بودن محاسبات روش ANP و لزوم استفاده از نرم‌افزار SUPER DECISION، با استفاده از یک روش ابتکاری، فرمولی ارائه می‌شود که از نرم‌افزار مذکور بی‌نیاز گشته و در نتیجه، سرعت و سهولت نتیجه‌گیری را تا حد قابل توجهی بالا می‌برد. دقت این روش با نتایج حاصل از نرم‌افزار مقایسه شده که نشانگر دقت بالای این روش می‌باشد.

کلید واژه‌ها: طرح‌های استتاری، فرایند تحلیل شبکه‌ای (ANP)، الیسه نظامی، روش ابتکاری.

An ANP Based Heuristic Method for Evaluating and Comparing Field Dress Camouflage Patterns

M. Mosadegh-Khah*, B. FarhadZare, H. Fotouhi, M. B. Mokhtari

Imam Hossein University

(Received: 08/06/2013; Accepted: 17/12/2013)

Abstract

A proper camouflage pattern for military forces has an important role in success of military operations. Visual evaluation often is used for selecting the most proper camouflage pattern. The visual methods are not efficient, because they are depending on the accuracy and expertise of observers, and also inconsistency between experts opinion. Therefore, an efficient scientific method is necessary. Based on the literature review, two important criteria were found based on background matching and disruptive coloration. Because of the dependency between these criteria, a method based on analytic network process (ANP), which is more accurate than visual methods, has been presented. Also, a heuristic calculating process for this ANP-based method, has been used instead of SUPER DECISION software. The proposed calculating process afforded the results in much easier way with the same accuracy, without using the relevant software.

Keywords: Camouflage Patterns, Analytic Network Process(ANP), Battledress, Heuristic Method, Passive Defence.

* Corresponding Author E-Mail: mmosdegh@ihu.ac.ir

Advanced Defence Sci. & Tech., 2014, 5, 9-17

۱. مقدمه

حسگرها و آشکارسازهای دشمن می‌باشد. استتار شامل پنهان نمودن از منظر، مشکل نمودن دیدن به طور واضح، کارگذاری موانع در مقابل دید، فریب دادن و تشخیص و ایجاد صدا برای فریب می‌باشد.

سه روش اصولی استتار عبارتند از:

- مخفی نمودن^۴
- همگون سازی^۵
- شبیه سازی^۶

مخفی نمودن: مخفی نمودن، عبارت از اختفای کامل یک شئ به سیله پوشش های فیزیکی می‌باشد. همچنین پوشانیدن میدان مین توسط علف و بوته موجب مخفی نگهداشت این میدان از دید دشمن می‌گردد. شاخه، برگ و سایه درخت، هدفها و اشیاء زیر آنها را از دیدهبانی زمینی و هوایی مخفی نگه می‌دارد.

همگون سازی: همگون سازی، به کارگیری وسایل استتار در بالا و اطراف هدف می‌باشد به طوری که با زمینه طبیعی اطراف آن، نوعی هم‌آمیختگی ایجاد نموده و هدف، جزئی از زمینه به نظر آید. برای مثال، سرباز با استفاده از پماد سیاه کننده صورت، قسمت‌های شفاف و صیقلی صورت را با محیط اطراف آن یکسان می‌نماید. همگون سازی در تجهیزات و تأسیسات نیز می‌تواند موجب عدم توجه و حساسیت دشمن به آنها گردد.

شبیه سازی: اقدام اصلی در بدل سازی، تغییر فیافه هدف حقیقی و اصلی و استفاده از تجهیزات و تأسیسات کاذب و فریبنده در فاصله‌ای مجاز و منطقی از هدف حقیقی می‌باشد که در صورت اجرای درست، موجب مصون و محفوظ ماندن هدف‌های حقیقی و اصلی می‌شود. انتخاب نوع و روش استتار به عواملی چون موضوع، زمان استتار، وضعیت استتار و موقعیت محیطی بستگی دارد.

۱-۲. تقسیم‌بندی استتار

استتار با توجه به تقسیم‌بندی دیگری به دو دسته نظامی و شکاری تقسیم می‌شود که استتار نظامی خود به دو دسته دور و نزدیک دسته‌بندی می‌شود. استتار دور، مربوط به مناطق تجمع نیروها، نیروهای لجستیکی، موضع تپخانه، ادوات، قرارگاه‌ها، مقرها و غیره است که به لحاظ دید مستقیم از اضطراب کاملی برخوردار نیست و تنها از طریق دیده‌بان نفوذی، نیروی هوایی و غیره قابل شناسایی است. استتار نزدیک مربوط به مناطق خیلی نزدیک به دشمن است که می‌توان با چشم غیرمسلح؛ نفرات، تجهیزات و سلاح آنان را مشاهده و مورد اصابت قرار داد. استتار نزدیک به دو روش انجام می‌پذیرد:

الف- استفاده از استتار طبیعی: در این استتار تجهیزات و نفرات توسط اجزاء طبیعت استتار می‌شوند.

استتار مناسب نیروهای نظامی نقش تعیین کننده‌ای در کاهش تلفات و در نتیجه موفقیت در مأموریت‌ها و عملیات نظامی، بهویژه در عملیات شناسایی که نیروها باید بدون اطلاع نیروهای دشمن تحرکات آنها را رصد نمایند، دارا می‌باشد. به تازگی پژوهش‌ها و تمایلات زیادی برای طراحی پوشش‌های استتاری نظامی کارمندان ایجاد شده است [۱-۵]. در گذشته و حتی هم‌اکنون طراحی و انتخاب طرح استتاری لباس‌های نظامی بر پایه سلیقه و غریزه طراحان بوده و برای ارزیابی آن، از سلیقه‌های فردی استفاده می‌شده است. حتی بسیاری از این طراحان، جزء هنرمندانی [۶] مانند جورجس براک^۱ [۷ و ۸] بوده‌اند. اصول طراحی، اغلب از طبیعت الهام گرفته می‌شوند و بر اساس اصول بیولوژیکی مانند ادغام با طبیعت بوده‌اند [۹ و ۱۰]. به تازگی نیز پژوهش‌های روان‌شناسی، بافت طبیعت، الگوهای استتار نیز در انتخاب و طراحی طرح‌های استتاری نقش مهمی داشته‌اند. طرح‌های استتاری مختلفی برای نواحی مختلفی مانند مرتع، جنگل‌ها، صحراء و غیره طراحی شده‌اند [۱۱]. طرح‌های دیجیتالی نیز از جمله طرح‌های جدید استتاری می‌باشد [۱۲]. میزان استتار هر شئ در طبیعت، بهمیزان جزئیات و ترکیب ساختاری صحنه بستگی دارد [۱۳ و ۱۴]. با وجود انجام مطالعاتی در زمینه نحوه ارزیابی کارایی طرح‌های استتاری البسه نظامی توسط روش‌های محاسباتی، یکی از پرکاربردترین روش‌های ارزیابی، ارزیابی‌های بصری می‌باشد [۱۵]. در ارزیابی‌های بصری، مدت زمانی که طول می‌کشد تا فرد مشاهده کننده جسم مستور را از فاصله تعیین شده تشخیص دهد، معیار ارزیابی بصری تلقی شده که هر چه این مقدار بیشتر باشد، طرح استتاری نیز بهتر است [۱۶]. گرچه و امانی [۱۷] عوامل مؤثر بر میزان استتار یک طرح در یک محیط را معرفی و روشنی را برای ارزیابی کمی طرح‌های استتاری توسط دو عامل تباین تصاویر و همانندی رنگی ارائه کرده‌اند. شفیعی و همکاران [۱۸] نرم‌افزاری را برای ارزیابی میزان کارایی طرح‌های استتاری ارائه نموده‌اند که با داشتن تصاویری از محیط استتاری، طرح استتاری و شئ استتار شده، آزمونی را طرح می‌کند که نتیجه آن تعیین «میانگین زمان شناسایی» درون تصویر پس‌زمینه می‌باشد و از این طریق می‌توان طرح استتاری را بهینه نمود. صداقت و دهقانی [۱۹] روشی را جهت ارزیابی اقدامات استتاری در تصاویر ماهواره‌ای برای تجهیزات نظامی ارائه نموده‌اند. در روش ارائه شده از تناظر الگو و الگوریتم کارامد استخراج عارضه UR-SIFT کیفیت استتار در تصاویر سنجش از دور استفاده شده است.

۱-۱. استتار

استتار^۲ و اختفا^۳، هر نگ نمودن تأسیسات، تجهیزات و نیروها با محیط اطراف به منظور تقلیل امکان کشف و شناسایی آنها توسط

⁴ Hiding

⁵ Blending

⁶ Distinguishing

¹ Georges Braque

² Camouflage

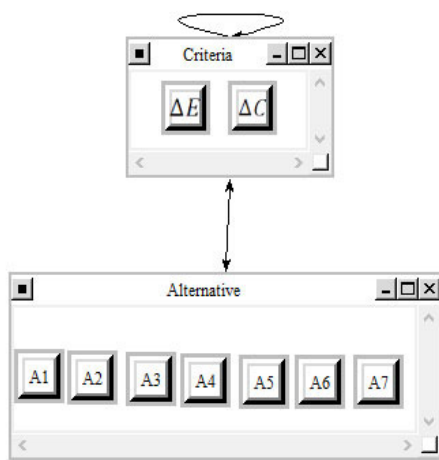
³ Concealment

در واقع، به جای حد سوپرماتریس موزون و لزوم استفاده از نرم افزار مذکور، با فرمولی ابتکاری میزان ارجحیت طرح ها بدست آورده می شود. دقت این روش با نتایج بدست آمده از نرم افزار مقایسه شده که نشانگر دقت بالای این روش می باشد. بنابراین، هدف از این مقاله ارائه روشی مناسب و کارا بر مبنای منطق علمی برای تشخیص اینکه در یک محیط عملیاتی کدام لباس نظامی بیشترین تطابق و کارایی را با محیط مدنظر داشته است، می باشد. با رسیدن به این هدف، امکان شناسایی نیروها در زمان عملیات کاهش و در نتیجه امنیت نیروها افزایش یافته و در نهایت احتمال موفقیت عملیات نظامی افزایش می یابد.

۲. روش تحقیق

مراحل این تحقیق که بر پایه روش ANP می باشد، به شرح زیر است [۲۳]:

- ساخت مدل و تبدیل مسئله / موضوع به یک ساختار شبکه‌ای: ساخت مدل شامل مراحل زیر می باشد:
 - تعریف مسئله و هدف آن.
 - تعیین معیارها و گزینه‌های تصمیم‌گیری.
 - ترسیم ساختار شبکه‌ای که در آن، گره‌ها به عنوان خوش‌های مطرح هستند.
 - مشخص کردن وابستگی‌های بیرونی عناصر موجود در یک خوش به یال‌های جهت‌دار وارد بر خوش و وابستگی‌های درونی آنها با حلقه‌های موجود در خوش مربوطه.
 - برای کلیه مسائل استارتار چنین مدل شبکه‌ای قابل ترسیم می باشد.
- در شکل (۱) ساختار شبکه‌ای مسئله نشان داده شده است:



شکل ۱. ساختار شبکه‌ای مسئله

معیار ΔC میزان همانندی تبیان طرح با زمینه و معیار ΔE همانندی رنگی طرح با زمینه را بیان می کند. در این مدل تفسیر فلش‌های کشیده شده از خوش‌های به یکدیگر به صورت زیر می باشد:

ب- استفاده از استارتار مصنوعی: این نوع از استارتار به وسیله انسان به وجود می آید مانند استفاده از تور، پارچه و سایر موارد. استارتار طبیعی باید به گونه‌ای اجرا شود که حداکثر همگونی و همزنگی با محیط و روئیدنی‌های بومی را داشته باشد [۲۰]. به عبارت دیگر، استارتار مناسب استارتاری است که بیشترین تطابق را با محیط عملیاتی داشته باشد.

۳-۱. معیارهای مؤثربرا استارتار مناسب در محیط

با الهام از طبیعت و چگونگی استارتار در حیوانات، به طور کلی دو عامل بهم وابسته اما به طور منطقی جدا از هم برای کاهش خطر تشخیص داده شدن، پیشنهاد شده است [۲۱].

- میزان همانندی تبیان طرح با زمینه (ΔC)
- میزان همانندی رنگی طرح با زمینه (ΔE)

همان‌طور که اشاره شد، استارتار مناسب نیروها، نقش تعیین‌کننده‌ای در موفقیت عملیات نظامی دارد. انتخاب طرح استارتاری مناسب برای یک محیط، از میان چندین طرح و با استفاده از روش بصری انجام می شود. این روش به دلیل وابستگی انتخاب، به میزان خبرگی و دقت مشاهده کنندگان و همچنین احتمال ناسازگاری میان نظرات کارشناسان، روش کارآمدی نمی باشد. بنابراین، استفاده از یک روش علمی با توجه به اهمیت بالای میزان کارایی طرح‌های استارتاری نیروهای نظامی در مباحث استراتژیک نظامی و نقش تعیین‌کننده استارتار نیروهای نظامی در موفقیت عملیات نظامی و عدم اعتماد به نتایج ارزیابی‌های بصری احساس می شود. با مطالعه منابع مربوط به استارتار، تاکنون دو معیار تأثیرگذار در استارتار شناسایی شده‌اند که عبارت از میزان همانندی تبیان طرح با زمینه و میزان همانندی رنگی طرح با زمینه می باشند. مسئله مورد بحث در مقاله حاضر، انتخاب یک طرح استارتاری از میان چندین طرح در یک محیط عملیاتی مدنظر و در واقع ارزیابی کمی طرح‌های استارتاری البسه نظامی در محیط‌های عملیاتی گوناگون بر اساس معیارهای ΔC و ΔE می باشد. بنابراین، با توجه به ماهیت مسئله، روش‌های تصمیم‌گیری چندمعیاره (MCDM) برای حل آن مناسب است. یکی از روش‌های طرح شده در حوزه MCDM، فرایند تحلیل شبکه‌ای (ANP) است که توسط ساعتی ارائه شده است [۲۲]. این روش قادر به اعمال کلیه وابستگی‌ها از جمله وابستگی معیارها به یکدیگر می باشد. با توجه به ماهیت مسئله پیش رو که انواع وابستگی‌ها از جمله وابستگی معیارهای مدنظر یعنی ΔE و ΔC به یکدیگر وجود دارد، ANP روش مناسبی برای ارزیابی کمی طرح‌های استارتاری می باشد. بنابراین، استفاده از روش فرایند تحلیل شبکه‌ای (ANP)، می تواند جایگزین مناسبی به جای روش بصری به منظور نتیجه‌گیری دقیق‌تر باشد. با توجه به پیچیدگی و زمان بر بودن ANP به دلیل لزوم استفاده از نرم افزار SUPER DECISION، در یک روش ابتکاری فرمولی ارائه می شود که از نرم افزار مذکور بی نیاز گشته و در نتیجه سرعت و سهولت نتیجه‌گیری را تا حد قابل توجهی بالا می برد.

برای سازگاری قابل قبول در قضاوتها، لزوماً باید CR کمتر از ۰/۱ باشد، در غیر این صورت از خبرگان خواسته می شود در نظرات خود تجدید نظر کنند.

با توجه به این که کلیه اطلاعات مورد نیاز در ارزیابی کمی طرح های استتاری قابل محاسبه می باشد، بنابراین نیازی به مرحله ۲-۲ یعنی مقایسات زوجی بر مبنای تحلیل های ذهنی نداشته و با توجه به اینکه از اطلاعات دقیق استفاده کرده و از تحلیل های ذهنی بهره نبرده، نرخ ناسازگاری در مرحله ۳-۲ صفر می باشد.

برای محاسبه کمی میزان همانندی تباین طرح ها با زمینه مدنظر (ΔC) و همچنین میزان همانندی رنگی طرح ها با زمینه مدنظر (ΔE) به طریق زیر عمل می شود:

محاسبه ΔC : در ابتدا میزان تباین برای هر سه محور H^1 (فام رنگ نظیر زرد، آبی، قرمز)، S^2 (میزان اشباع یا خلوص رنگی) و V^3 (ارزش یا روشنایی که شدت روشنایی رنگ را بیان می کند)، محاسبه می گردد. به بیان روشن تر، تباین در محور C_H ، تباین در محور خلوص (C_S) و تباین در محور روشنایی (C_V) برای هر طرح و همچنین برای زمینه مورد نظر محاسبه می شود. در نهایت به منظور تخمین اختلاف تباین بین طرح و زمینه و در نتیجه محاسبه کمی میزان همانندی تباین طرح با زمینه مدنظر از رابطه زیر استفاده می شود [۲۵]:

$$\Delta C = \sqrt{(C_{H,P} - C_{H,B})^2 + (C_{S,P} - C_{S,B})^2 + (C_{V,P} - C_{V,B})^2} \quad (۲)$$

در رابطه فوق، اندیس P نشان دهنده طرح و اندیس B مشخصه زمینه می باشد.

محاسبه ΔE : دیگر عامل تأثیرگذار در موقیت یک طرح استتاری، میزان مشابهت رنگی بین طرح و زمینه مدنظر می باشد. ساده ترین فرمول اختلاف رنگ که در عین حال به درک بصری نیز نزدیک می باشد، فرمول اختلاف رنگ ۱۹۷۶ CIELAB است که در اینجا نیز برای تخمین میزان همانندی رنگی بین طرح و زمینه استفاده شده است. بدین منظور میزان اختلاف رنگ برای میانگین مقادیر رنگی طرح و زمینه در فضای رنگ در سه محور L^* , a^* و b^* با استفاده از رابطه زیر محاسبه می گردد:

$$\Delta E = \sqrt{(\bar{L}_P - \bar{L}_B)^2 + (\bar{a}_P - \bar{a}_B)^2 + (\bar{b}_P - \bar{b}_B)^2} \quad (۳)$$

که در آن، L^* محور روشنایی، a^* محور قرمز- سبز و b^* محور زرد- آبی می باشد [۱۷]. با در نظر گرفتن این مطلب که چشم، فواصل را به صورت نمایی درک نموده و با افزایش اختلافات رنگی از یک حدی دیگر حساسیت تغییر نمی کند.

در مقاله حاضر از تابع نمایی مطرح شده زیر برای نرمالیزه کردن مقادیر ΔC و ΔE استفاده می شود [۲۶]. این تابع نمایی به صورت زیر

- رابطه بازخوردی نشان داده شده در خوش معيارها به اين معناست که عناصر اين خوش يعني ΔC و ΔE به يكديگر وابسته می باشند.

- پيکان وارد شده از خوش گزينهها به معيارها به اين معناست که معيارها به گزينهها وابسته می باشند. درنظر گرفتن اين وابستگی نيز منطقی است، زيرا معيارهای ΔC و ΔE دو معيار هم جنس هستند. مثلاً در خريد يك كala، دو عامل هزينه خريد و هزينه حمل و نقل از يك جنس می باشند (قابل جمع شدن باهم هستند) ولی به صورت منطقی جدا از هم می باشند.

- پيکان وارد شده از خوش معيارها به گزينهها به اين معناست که گزينهها برای انتخاب شدن بر مبنای معيارهای ΔC و ΔE سنجیده می شوند. لازم به ذکر است در تمامی مدل های شبکه ای، لزوماً از خوش معيارها به گزينهها پيکان وارد می شود. منطق تعريف شده در مدل های شبکه ای اين است که ارزش گزينهها بر مبنای معيارها سنجیده می شود.

تشکيل ماترييس مقاييسه دودوبي و تعين بردارهای اولويت: مقاييسات زوجی را بر اساس تحليل های ذهنی بين عناصر وابسته يك خوش از لحاظ عنصر وابسته به آن که از همان خوش یا خوش دیگر است را انجام داده و اين مقاييسها برای همه خوشها انجام می شود. اين مقاييسها در ابتدا به صورت كيفی بوده و سپس در يك مقاييس عددی مطابق جدول (۱) کمي می گردد.

جدول ۱. مقدار عددی ترجيحات (قضاؤت شخصی)

| مقدار عددی | ترجيحات (قضاؤت شخصی) |
|------------|--------------------------------|
| ۹ | كاملًا مهمتر یا كاملًا مطلوبتر |
| ۷ | أهمية یا مطلوبیت خیلی قوى |
| ۵ | أهمية یا مطلوبیت قوى |
| ۳ | كمي مهمتر یا كمي مطلوبتر |
| ۱ | أهمية یا مطلوبیت يکسان |
| ۲،۴،۶،۸ | ترجيحات بين فوائل فوق |

سپس ماترييس های مقاييسات زوجی را تشکيل داده و وزن های نسبی عناصر همانند روش AHP سنجیده می شود.

محاسبه نرخ ناسازگاری ماترييس های مقاييسات زوجی: در اين گام، خطای ناشی از ناسازگاری ماترييس مقاييسات زوجی محاسبه می شود [۲۴]. اين خطأ توسط معروف همانند AHP محاسبه می شود.

مقدار شاخص ناسازگاری (CI) از رابطه زیر محاسبه می شود:

$$CR = \frac{CI}{RI} \quad (۱)$$

برای قضاؤت انفرادي از رابطه $CI = \frac{\lambda_{\max} - n}{n-1}$ و برای قضاؤت گروهي از رابطه $CI = \frac{\lambda_{\max}}{n}$ استفاده می شود.

^۱ Hue

^۲ Saturation

^۳ Value

$$\begin{array}{c} \Delta C \\ \Delta E \\ \text{محل} \\ m \end{array} \left[\begin{array}{cccc} 0 & 0.5 & \frac{\Delta C_1}{\Delta C_1 + \Delta E_1} & \frac{\Delta C_m}{\Delta C_m + \Delta E_m} \\ 0.5 & 0 & \frac{\Delta E_1}{\Delta C_1 + \Delta E_1} & \dots & \frac{\Delta E_m}{\Delta C_m + \Delta E_m} \\ \frac{1}{\Delta C_1} & \frac{1}{\Delta E_1} & 0 & 0 \\ \frac{1}{2 * \sum_{i=1}^m \frac{1}{\Delta C_i}} & \frac{1}{2 * \sum_{i=1}^m \frac{1}{\Delta E_i}} & \vdots & \vdots \\ \frac{1}{\Delta C_m} & \frac{1}{\Delta E_m} & 0 & \dots & 0 \\ \frac{1}{2 * \sum_{i=1}^m \frac{1}{\Delta C_i}} & \frac{1}{2 * \sum_{i=1}^m \frac{1}{\Delta E_i}} & \vdots & \vdots \end{array} \right]$$

شکل ۴. سوپر ماتریس موزون برای مسئله

به دست آوردن وزن نهایی عناصر: ماتریس موزون آنقدر به توان رسانده می شود تا در هر سطر به همگرایی برسد. برای رسیدن به همگرایی و تسهیل محاسبات ریاضی از نرم افزار Super Decision استفاده می شود [۲۴].

$$W^\infty = \lim_{k \rightarrow \infty} W^k \quad (5)$$

اعداد همگرا شده برای هر یک از طرح های استارتاری، نشان دهنده وزن نهایی مطلق آنها می باشد. با نرمالیزه درصدی، وزن نهایی نسبی آنها نسبت به هم به دست می آید. طرح استارتاری با بالاترین وزن نهایی نسبی نشان دهنده کارامدترین طرح استارتاری برای محیط مدنظر می باشد. اگر W_{m_i} وزن نهایی مطلق گزینه ها باشد، وزن نهایی نسبی گزینه ها برابر است با:

$$W_{m_i} = \frac{W_{m_i}}{\sum_{i=1}^m W_{m_i}} \quad (6)$$

به منظور ساده تر شدن محاسبات و عدم نیاز به نرم افزار خاص، یک اندیس ابتکاری پیشنهاد می شود که جواب های به دست آمده از این اندیس کاملاً با خروجی های حاصل از نرم افزار یکسان می باشد. فقط کافی است در هر مسئله مقادیر $\Delta C, \Delta E$ را به دست آورده و سپس از اندیس ابتکاری زیر استفاده نمود:

$$I_i = ((0.5 + \sum_{i=1}^m \frac{\Delta C_i}{\Delta C_i + \Delta E_i}) \times \frac{\frac{1}{\Delta C_i}}{2 * \sum_{i=1}^m \frac{1}{\Delta C_i}}) + ((0.5 + \sum_{i=1}^m \frac{\Delta E_i}{\Delta C_i + \Delta E_i}) \times \frac{\frac{1}{\Delta E_i}}{2 * \sum_{i=1}^m \frac{1}{\Delta E_i}}) \quad (7)$$

i = 1, ..., m
طرح ها

در مرجع [۲۸]، یک الگوریتم ابتکاری برای حل مسائل شبکه ای (ANP) ارائه شده است. با اعمال این الگوریتم بر سوپر ماتریس موزون مسئله مدنظر که در شکل (۴) آمده است، اندیس ابتکاری ارائه شده به دست می آید و در نهایت مقادیر آن به صورت زیر به دست می آید:

$$I_i = \frac{I_i}{\sum_{i=1}^m I_i} \quad i = 1, \dots, m = \text{تعداد طرح ها} \quad (8)$$

مقادیر آن با نتایج نرمالیزه شده از نرم افزار SUPER DECISION منطبق می باشد.

مقادیر ΔC و ΔE استفاده می شود [۲۶]. اینتابع نمایی به صورت زیر تعریف شده است:

$$f = 1 - e^{-x/\gamma} \quad (4)$$

تشکیل سوپر ماتریس ناموزون (وزن دهی نشده): در ساختمان سوپر ماتریس، هم گزینه ها هم معیارها و زیر معیارها در سطرهای و ستون های آورده می شود و وزن های نسبی به دست آمده در ماتریس های مقایسات زوجی در این ماتریس قرار می گیرد و همچنانی اگر عنصری دارای رابطه باز خود را با خودش باشد در ارتباط با خودش در سوپر ماتریس نامتوازن مقدار ۱ می گیرد. شکل (۲) ساختار کلی سوپر ماتریس را نشان می دهد. e_{ij} عنصر زام از خوشة w_{ik} ماتریس بلوکی است که نشان دهنده وزن برداری است که تحت تأثیر عنصر زام خوشه در ارتباط با خوشه k مقدار ۱ می گرفته است.

$$W = \left[\begin{array}{cccc} C_1 & C_2 & \cdots & C_N \\ \begin{matrix} e_{11}e_{12}\cdots e_{1n_1} & e_{21}e_{22}\cdots e_{2n_2} & \cdots & e_{N1}e_{N2}\cdots e_{NN} \\ \begin{matrix} W_{11} & W_{12} & \cdots & W_{1N} \\ \vdots & \vdots & \ddots & \vdots \\ W_{21} & W_{22} & \cdots & W_{2N} \\ \vdots & \vdots & \ddots & \vdots \\ W_{N1} & W_{N2} & \cdots & W_{NN} \end{matrix} \end{matrix} \end{array} \right]$$

شکل ۲. سوپر ماتریس وزن دهی نشده [۲۸]

در صورت وابستگی بین خوشه ها، ماتریس مقایسات زوجی خوشه ها را تشکیل داده و مانند روش AHP وزن های نسبی خوشه ها به دست آورده می شود و در ماتریسی به نام ماتریس خوشه ای وارد می شود. سوپر ماتریس ناموزون برای مسئله مدنظر، به صورت شکل (۳) تعریف می شود:

$$\begin{array}{c} \Delta C \\ \Delta E \\ \text{محل} \\ m \end{array} \left[\begin{array}{cccc} 0 & 1 & \frac{\Delta C_1}{\Delta C_1 + \Delta E_1} & \frac{\Delta C_m}{\Delta C_m + \Delta E_m} \\ 1 & 0 & \frac{\Delta E_1}{\Delta C_1 + \Delta E_1} & \dots & \frac{\Delta E_m}{\Delta C_m + \Delta E_m} \\ \frac{1}{\Delta C_1} & \frac{1}{\Delta E_1} & 0 & 0 \\ \frac{1}{\sum_{i=1}^m \frac{1}{\Delta C_i}} & \frac{1}{\sum_{i=1}^m \frac{1}{\Delta E_i}} & \vdots & \vdots \\ \frac{1}{\Delta C_m} & \frac{1}{\Delta E_m} & 0 & \dots & 0 \\ \frac{1}{\sum_{i=1}^m \frac{1}{\Delta C_i}} & \frac{1}{\sum_{i=1}^m \frac{1}{\Delta E_i}} & \vdots & \vdots \end{array} \right]$$

شکل ۳. سوپر ماتریس ناموزون برای مسئله

تشکیل سوپر ماتریس موزون (وزن دهی شده) (\tilde{W}): در این مرحله سوپر ماتریس موزون (\tilde{W}) از طریق ضرب مقادیر سوپر ماتریس ناموزون در ماتریس خوشه ای و نرمالیزه کردن هر ستون سوپر ماتریس ناموزون به دست می آید [۲۷]. سوپر ماتریس موزون برای مسئله حاضر به صورت شکل (۴) تعریف می شود:

تشکیل سوپرماتریس موزون: سوپرماتریس موزون مسئله، به صورت جدول (۴) تشکیل داده می شود. سپس به جای به توان رساندن سوپر ماتریس موزون با نرم افزار ذکر شده، به راحتی با استفاده از روابط (۷) و (۸) وزن هر طرح به دست می آید. همچنین برای این مطالعه موردی وزن های مطلق طرحها در جدول (۵) و وزن های نسبی طرحها در جدول (۶) نمایش داده شده اند.

جدول ۳. میزان تباین طرحها و زمینه مذکور در هر سه محور فام، خلوص، روشنایی به همراه اختلاف تباین و اختلاف رنگ طرحها و زمینه برای هر طرح

| | تباین در محور فام C_H | تباین در محور خلوص C_S | تباین در محور روشنایی C_E | اختلاف تباین ΔC | اختلاف رنگ طرح و زمینه ΔE |
|-------|-------------------------------|-----------------------------------|--------------------------------------|-------------------------------|--|
| زمینه | ۰/۰۴۱۰ | ۰/۰۳۵۶ | ۰/۰۱۹۲ | - | - |
| ۱ طرح | ۰/۰۴۶۴ | ۰/۰۶۴۴ | ۰/۰۳۳۹ | ۰/۰۴۰۰۳۱ | ۰/۸۹۲۷ |
| ۲ طرح | ۰/۰۴۹۷ | ۰/۰۲۶۷ | ۰/۰۵۸۷ | ۰/۰۴۱۴۱۴ | ۰/۶۹۷۲ |
| ۳ طرح | ۰/۰۴۶۸ | ۰/۰۲۷۰ | ۰/۰۲۱۳ | ۰/۰۱۰۵۸۳ | ۰/۵۶۶۶ |
| ۴ طرح | ۰/۰۵۲۹ | ۰/۰۳۰۲ | ۰/۱۷۱۱ | ۰/۱۵۲۴۶۱ | ۰/۶۵۶۴ |
| ۵ طرح | ۰/۰۴۱۴ | ۰/۱۸۱ | ۰/۰۷۱۰ | ۰/۰۵۴۶۷۸ | ۰/۹۳۶۰ |
| ۶ طرح | ۰/۱۱۳۱ | ۰/۰۲۷۸ | ۰/۰۲۰۱ | ۰/۰۷۲۵۲۶ | ۰/۹۶۵۷ |
| ۷ طرح | ۰/۰۸۲۶ | ۰/۰۶۰۰ | ۰/۰۶۵۸ | ۰/۰۶۷۰۶۳ | ۰/۹۹۱۲ |

همان طور که بیان شد طرحها با وزن نهایی نسبی بالاتر برای استثمار در زمینه مدنظر مطلوب تر می باشند. با توجه به مقداری ΔE در جدول (۶) طرح ۳ به عنوان برترین طرح برای استثمار در زمینه مدنظر انتخاب می شود و بعد از این، طرح های ۴-۵-۶-۷-۸-۹ قرار می گیرند. لازم به ذکر است نتایج با نظرات مشاهده کنندگان آورده شده در [۱۷] کاملاً منطبق می باشد.

همان طور که از جدول (۷) قابل مشاهده می باشد، نتایج به یکدیگر بسیار نزدیک و ترتیب انتخاب طرحها با یکدیگر در روش ابتکاری و نرم افزار تفاوتی ندارد.

۳. مطالعات موردي

۳-۱. مطالعه موردي اول

به منظور بررسی میزان کارایی این روش حل ابتکاری در ارزیابی کمی طرح های استثماری البته نظری از مطالعه موردي به کاربرده شده در مرجع [۱۷] استفاده شده است. در این مطالعه موردي، هفت طرح انتخابی نسبت به یک زمینه انتخابی مورد بررسی قرار گرفته و نتایج آن در شکل (۵) و (۶) ارائه شده است:



شکل ۵. هفت طرح انتخابی مطالعه موردي اول



شکل ۶. زمینه انتخابی مورد مطالعاتي اول

محاسبه ΔC و ΔE : در ابتدا ΔC و ΔE را محاسبه کرده و نتایج آن در جدول (۳) نمایش داده شده است.

جدول ۴. سوپر ماتریس موزون مطالعه موردي اول

| | ۱ طرح | ۲ طرح | ۳ طرح | ۴ طرح | ۵ طرح | ۶ طرح | ۷ طرح |
|------------|---------|--------|--------|--------|--------|--------|--------|
| ΔC | ۰/۰۴۲۹ | ۰/۰۵۶۱ | ۰/۰۱۸۳ | ۰/۱۸۸۵ | ۰/۰۵۵۲ | ۰/۰۶۹۹ | ۰/۰۶۳۴ |
| ΔE | ۰/۰۵ | ۰/۹۵۷۱ | ۰/۹۴۳۹ | ۰/۹۸۱۷ | ۰/۸۱۱۵ | ۰/۹۴۴۸ | ۰/۹۳۰۱ |
| ۱ طرح | ۰/۰۶۳۳ | ۰/۰۶۲۵ | . | . | . | . | . |
| ۲ طرح | ۰/۰۶۱۲ | ۰/۰۸۰۱ | . | . | . | . | . |
| ۳ طرح | ۰/۰۲۳۹۶ | ۰/۰۹۸۵ | . | . | . | . | . |
| ۴ طرح | ۰/۰۱۶۶ | ۰/۰۸۵۱ | . | . | . | . | . |
| ۵ طرح | ۰/۰۴۶۴ | ۰/۰۵۹۶ | . | . | . | . | . |
| ۶ طرح | ۰/۰۳۵ | ۰/۰۵۷۸ | . | . | . | . | . |
| ۷ طرح | ۰/۰۳۷۸ | ۰/۰۵۶۳ | . | . | . | . | . |

جدول ۵. وزن‌های مطلق طرح‌ها

| I ₁ | I ₂ | I ₃ | I ₄ | I ₅ | I ₆ | I ₇ |
|----------------|----------------|----------------|----------------|----------------|----------------|----------------|
| ۰/۰۶۲۶ | ۰/۰۷۷۷ | ۰/۱۱۶۱ | ۰/۰۷۶۶ | ۰/۰۵۸ | ۰/۰۵۵ | ۰/۰۵۴ |

جدول ۶. وزن‌های نهایی نسبی طرح‌ها

| I ₁ | I ₂ | I ₃ | I ₄ | I ₅ | I ₆ | I ₇ |
|----------------|----------------|----------------|----------------|----------------|----------------|----------------|
| ۰/۱۲۵۲۸ | ۰/۱۵۵۴۷ | ۰/۲۳۲۱۴ | ۰/۱۵۳۱۱ | ۰/۱۱۶ | ۰/۱۰۹۹۵ | ۰/۱۰۸۰۵ |

جدول ۷. مقایسه نتایج نرم‌افزار با نتایج روش ابتکاری مطالعه موردی اول

| | نتایج نرم‌افزار | نتایج روش ابتکاری |
|-------|-----------------|-------------------|
| ۱ طرح | ۰/۱۲۵۲۸ | ۰/۱۲۹ |
| ۲ طرح | ۰/۱۵۵۴۷ | ۰/۱۵۶ |
| ۳ طرح | ۰/۲۳۲۱۴ | ۰/۲۲ |
| ۴ طرح | ۰/۱۵۳۱۱ | ۰/۱۵۱ |
| ۵ طرح | ۰/۱۱۶ | ۰/۱۲ |
| ۶ طرح | ۰/۱۰۹۹۵ | ۰/۱۱۴ |
| ۷ طرح | ۰/۱۰۸۰۵ | ۰/۱۱ |

وزن‌های مطلق طرح‌ها در جدول (۹) و وزن‌های نسبی طرح‌ها در جدول (۱۰) نمایش داده شده‌اند. با توجه به مقادیر آن طرح ۴ بهترین طرح استارتاری برای زمینه مدنظر انتخاب می‌شود و بعد از این طرح، بهتر ترتیب طرح‌های ۱-۲-۳-۶-۵-۷ قرار می‌گیرند. در این مسئله نیز با توجه به جدول (۱۱) نتایج حاصل از نرم‌افزار و روش ابتکاری، کاملاً با یکدیگر هم‌خوانی دارند و ترتیب انتخاب طرح‌ها با یکدیگر تفاوتی ندارد.

۲-۳. مطالعه موردی دوم

در این مطالعه موردی، شش طرح انتخابی (شکل ۷) نسبت به یک زمینه انتخابی (شکل ۸) مورد بررسی قرار گرفته است.



شکل ۸. زمینه انتخابی مورد مطالعه اول



شکل ۷. شش طرح انتخابی مطالعه موردی دوم

محاسبه ΔC , ΔE : در ابتدا ΔC و ΔE محاسبه شده و نتایج آن در جدول (۸) نمایش داده شده است. سپس برای این مطالعه موردی

جدول ۸. میزان تباين طرح‌ها و زمینه مذکور در هر سه محور فام، خلوص، روشنایی به همراه اختلاف تباين و اختلاف رنگ طرح‌ها و زمینه برای هر طرح

| | C _H | C _S | C _V | ΔC | ΔE | ΔC_n | ΔE_n |
|-------|----------------|----------------|----------------|------------|------------|--------------|--------------|
| زمینه | ۰/۰۳۳۶ | ۰/۰۱۷۲ | ۰/۰۲۴۸ | - | - | - | - |
| ۱ طرح | ۰/۰۲۰۵ | ۰/۰۱۹۱ | ۰/۰۷۳۴ | ۰/۰۵۰۳ | ۰/۰۹۵۸ | ۱۰/۶۵۸ | ۰/۶۵۵۵ |
| ۲ طرح | ۰/۰۷۸۷ | ۰/۰۲۵۱ | ۰/۰۷۵۲ | ۰/۰۶۸۱ | ۰/۱۲۷۳ | ۱۵/۹۱۶ | ۰/۷۹۶۴ |
| ۳ طرح | ۰/۰۷۰۷ | ۰/۰۱۸۱ | ۰/۰۸۵۲ | ۰/۰۷۰۹ | ۰/۱۳۲۲ | ۱۸/۴۷۲ | ۰/۸۴۲۳ |
| ۴ طرح | ۰/۰۱۸۷ | ۰/۰۳۳۵ | ۰/۰۵۷۲ | ۰/۰۳۹۲ | ۰/۰۷۵۵ | ۲/۳۲۳ | ۰/۲۰۷۴ |
| ۵ طرح | ۰/۰۳۶۶ | ۰/۰۱۷ | ۰/۰۱۲۴ | ۰/۰۹۵۵ | ۰/۱۸۰۴ | ۷/۵۵۱۶ | ۰/۵۳۰۱ |
| ۶ طرح | ۰/۰۱۸ | ۰/۰۲۵۹ | ۰/۰۵۶۸ | ۰/۰۴۶۶ | ۰/۰۷۰۶ | ۲۲/۲۷ | ۰/۹۰۴۴ |

جدول ۹ وزن‌های مطلق طرح‌ها

| I ₁ | I ₂ | I ₃ | I ₄ | I ₅ | I ₆ |
|----------------|----------------|----------------|----------------|----------------|----------------|
| ۰/۴۸۹۰۱۳ | ۰/۳۹۳۱۴۴ | ۰/۳۷۳۴۵۹ | ۱/۲۹۴۷۰۱ | ۰/۵۱۱۱۳۶ | ۰/۴۳۸۵۴۷ |

جدول ۱۰. وزن‌های نهایی نسبی طرح‌ها

| I ₁ | I ₂ | I ₃ | I ₄ | I ₅ | I ₆ |
|----------------|----------------|----------------|----------------|----------------|----------------|
| ۰/۱۳۹۷۱۸ | ۰/۱۱۲۳۲۷ | ۰/۱۰۶۷۰۳ | ۰/۳۶۹۹۱۵ | ۰/۱۴۶۰۳۹ | ۰/۱۲۵۲۹۹ |

جدول ۱۱. مقایسه نتایج نرم‌افزار با نتایج روش ابتکاری مطالعه موردی اول

| | نتایج روش ابتکاری | نتایج نرم‌افزار |
|-------|-------------------|-----------------|
| ۱ طرح | ۰/۱۳۹۷۱۸ | ۰/۱۴۱ |
| ۲ طرح | ۰/۱۱۲۳۲۷ | ۰/۱۰۹ |
| ۳ طرح | ۰/۱۰۶۷۰۳ | ۰/۱۰۱ |
| ۴ طرح | ۰/۳۶۹۹۱۵ | ۰/۳۷۴ |
| ۵ طرح | ۰/۱۴۶۰۳۹ | ۰/۱۵۲ |
| ۶ طرح | ۰/۱۲۵۲۹۹ | ۰/۱۲۴ |

- [3] Chang, C. C. "Visual Assessment of Camouflaged Targets with Different Background Similarities"; *Percept. Motor Skill* 2012, 114, 527–541.
- [4] Venezia, J.; Hepfinger, L. "Using a Constructive Simulation to Assess the Survivability of Various Camouflage Patterns"; Army Natick Soldier Research, Development and Eng. Center, 2012.
- [5] Fakin, D.; Ojstrsek, A. "The Effect of Camouflage Shades on Clothing's Low Visibility"; *Colour—Effects & Affects. Proc. Interim Meeting Int. Colour Assoc.*, 2008.
- [6] Behrens, R. P. "The Role of Artists in Ship Camouflage During World War"; *Leonardo* 2006, 32, 53–59.
- [7] Delouche, D. "Cubisme et Camouflage"; *Guerres Mondiales et Conflits Contemporains* 1993, 171, 123–137.
- [8] Behrens, R. P. "The Weave (and Warp) of Invention"; *J. Creat. Behav.* 1974, 8, 81–92.
- [9] Cott, H. B. "Adaptive Coloration in Animals"; Methuen & Co., UK London, 1940.
- [10] Thayer, G. H. "Concealing-Coloration in the Animal Kingdom: an Exposition of the Laws of Disguise through Color and Pattern"; The Macmillan Co., New York, 1909.
- [11] Dugas, A. "Universal Camouflage for the Future Warrior"; Proceedings of the 4th Int. Conf. Safety and Protective Fabrics: Solutions and Opportunities for the Safety and Protective Fabrics Industry, Industrial Fabrics Association Int., 2004.
- [12] Friškovec, M.; Gabrijelčič, H. "Development of a Procedure for Camouflage Pattern Design"; *Fibres & Textiles in Eastern European* 2010, 18, 68–76.
- [13] Cole, B. L.; Jenkins, S. E. "The Effect of Variability of Background Elements on the Conspicuity of Objects"; *Vision Res.* 1984, 24, 261–270.
- [14] Pelli, D. G.; Tillman, K. A. "The Uncrowded Window of Object Recognition"; *Nat. Neurosci.* 2008, 11, 1129–1135.
- [15] Tankus, A.; Yeshurun, Y. "A Model for Visual Camouflage Breaking"; in Proc. of the 1st IEEE Int. Workshop on Biologically Motivated Computer Vision 2000, 139–149 .
- [16] Cramer, G. "The Science of Digital Camouflage Design"; [Https://www.Hyperstealth.Com/Digitaldesign/Index.Html](https://www.Hyperstealth.Com/Digitaldesign/Index.Html).
- [17] Gorji Kandi, S.; Amani Tehran, M. "Quantitative Assessment of Camouflage Patterns"; *Passive Defence Quarterly* 2010, 3, 51–57, (In Persian).

۴. نتیجه‌گیری

با توجه به اهمیت بالای میزان کارایی طرح‌های استارتاری در مباحث استراتژیک نظامی و نقش تعیین‌کننده استارتار در موفقیت عملیات نظامی، لزوم ارائه روشی مناسب و کارا بر مبنای منطق علمی با دقت بالا برای ارزیابی و مقایسه و در نهایت انتخاب طرح‌های استارتاری احساس می‌شود. برای این منظور، روش‌های موجود در تصمیم‌گیری چند معیاره اثبات رسیده از جمله روش‌های موجود در مقداری (MCDM) در این زمینه می‌تواند کارساز باشد. بکی از روش‌های مطرح شده در حوزه MCDM، فرایند تحلیل شبکه‌ای (ANP) است. این روش قادر به اعمال کلیه وابستگی‌ها از جمله وابستگی معیارهای به یکدیگر می‌باشد. با توجه به ماهیت مسائل استارتار که انواع وابستگی‌ها از جمله وابستگی معیارهای مدنظر یعنی ΔE و ΔC به یکدیگر وجود دارد، ANP مناسب‌ترین روش برای ارزیابی کمی طرح‌های استارتاری است. با توجه به اینکه این روش دارای فرایندی طولانی و پیچیده می‌باشد، یک اندیس ابتکاری به منظور افزایش سرعت و سهولت انجام کاربر مبنای ANP، معرفی شد که دارای فرایند ساده بوده و با همان دقت و بدون پیچیدگی محاسباتی ANP، استفاده از این روش و همچنین نرم‌افزار مذکور را بی‌نیاز می‌سازد. در نهایت در دو مطالعه موردی واقعی کارایی و نتایج روش پیشنهادی نشان داده شد.

۵. مراجع

- [1] Baumbach, J. "Colour and Pattern Composition to Blend Objects into a Natural Environment"; *Colour—Effects & Affects. Proc.*, 2008.
- [2] Billock, V. A.; Cunningham, D. W.; Tsou, B. H. "What Visual Discrimination of Fractal Textures Can Tell Us About Discrimination of Camouflaged Targets"; *Human Factors Issues in Combat Identification Workshop* Ashgate Pub., 2008.

- [23] Saaty, T. L. "The Analytic Network Process"; Springer US, 2006, 95, 1-26.
- [24] Saaty, T. L. "Decision Making in Complex Environments"; Super Decisions, 2003.
- [25] Hanmandlu, M.; Jha, D.; Sharma, R. "Color Image Enhancement by Fuzzy Intensification"; Pattern Recognition Letters 2003, 24, 81-87.
- [26] Yoon, K. J.; Kweon, I. S. "Color Image Segmentation Considering the Human Sensitivity for Color Pattern Variations"; SPIE Photonics Boston 2001: Intelligent Robot and Computer Vision XX: Algorithms, Techniques and Active Vision, 4572, pp. 269-278, 2001.
- [27] Saaty, T. L.; Vargas, L. G. "Decision Making with the Analytic Network Process"; Springer, 2006.
- [28] Ahamdvand, A.; Farhadzare, B. "SIMANP Hueristic Method for Solving Analytical Network Process Method"; Innovation and Creativity in Human Sci. 2012, 3, 168-188 (In Persian).
- [18] Shafiei, S. M.; Amani Tehran, M.; Gorji Kandi, S. "Providing a Designing Assistant Software Predicting the Effectiveness of Camouflage Patterns"; J. Passive Defence Sci. Tech. 2011, 5, 231-239 (In Persian).
- [19] Sedaghat, A.; Dehghani, H. "An Efficient Camouflage Assessment Approach for Remote Sensing Images"; J. Passive Defence Sci. Tech. 2012, 6, 295-306 (In Persian).
- [20] Aumbach, J. "Colour and Pattern Composition to Blend Objects Into a Natural Environment"; Association Internationale De La Couleur (AIC), 2008.
- [21] Merilaita, S.; Lind, J. "Background-Matching and Disruptive Coloration, and the Evolution of Cryptic Coloration"; In Proc. of the Royal Soc. B, 2005, 272, 665-670.
- [22] Saaty, T. L. "Decision Making with Dependence and Feedback: the Analytic Network Process"; Second Ed., RWS Pub., Pittsburg, 2001a.